

Ca - Sn

IX 1324

1949

Ba₃Bi₂; Ba₃.86₂; Ba₂Pb, BaPb, BaPb₃,
Ba₂Sn; BaSn₃; Ca₂Sn; CaSn₃; CaSi;
CaSi₂; Mg₂Si (MgF)

Kubashevski O, Villa H.,

Z. Elektrochim., 1949, 53, 32-40

EOSTL Ph. K.

III

L.A., 1949, 52758

V 2349

1952

Ag_4Ca , Cu_4Ca , $\text{Ag}, \text{Cu}, \text{Cd}_3\text{Ca}$, Sn_3Ca , Zr_{10}Ca (Tm)

Asai H.

Nippon Kinzoku Gakkai-Shi (J. Japan Inst. Met.)

1952, 16, 633-5

Investigation of electrical contact materials.
III. Contact properties of some alloys containing
ning 1,08-7,13% calcium.

CA, 1954, 5759h

Be.

F

VI 1300

1955

Ca(SuBr₆)·6H₂O, Sr(SuBr₆)·6H₂O, Mg(SuBr₆)·6H₂O,
Mn(SuBr₆)·6H₂O, Zn(SuBr₆)·6H₂O, Cd(SuBr₆)·6H₂O,
" gp- (T_u)

Gutierrez ~~E~~ de Celis M., Alvarez Quirós A.,
J. Acta salmant. ser. cienc.
1955, 1, N3, 34 pp



5

Ca₂Sn, Ca₂Pb (precces. eis-pa) ¹⁹⁶⁰

IX 3632

Eckertin P., Leicht E.,
Wölffel E.,
Z. anorg. und allgem. Chem.,

1960, 307, N3-4, 145-156

PX, 1962, 570 171

$\text{Ca}(\text{SnBr}_6) \cdot 6\text{H}_2\text{O}$ | BP-7885-IV | 1960

(Tm)

M. Gutierrez de Celis.
Y.A. Quiros

Acta

Salmanticensia t. N/3

5-34

IX 2847

1962

$\text{Ca}_2\text{Si}(\text{SH}_4)$, $\text{Ca}_2\text{Sn}(\text{SH}_4)$;

$\text{Ca}_2\text{Pd}(\text{SH}_4)$; $\text{Ca}_2\text{Be}(\text{sHe}, \text{SH}_4)$

Ульяновск Г.А., Степанов А.Н.,

Журавлев Т.Ф.,

Ж. общ. химии, 1962, 32, № 2069-

33

ж, б, А1

если open

Р.Х., 1963, 156318

3158-VI

1964

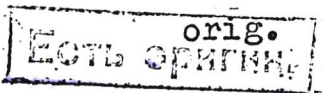
VI (CdSnO_3 , ZnSnO_3 , CuSnO_3 , NiSnO_3 , CoSnO_3 , MgSnO_3 ,
 CaSnO_3)

Dupuis T., Lorentelli V.

C.r. Acad. sci., 1964, 259, N 25, 4585-88
Contribution à l'étude de quelques metastan-
nates de métaux bivalents par spectrométrie
d'absorption infrarouge ($2-150 \mu$)

PJX, 1965, 246133

J.



Ca_2SnO_4

Kreis
Cp-pa

Frömel M.

1965

"Naturwissenschaften,"

1965, 52, N 18, 492-3

(Cu-Sr-Pb) I

Ca₂Sn

SP-IX-331

1966

22502e Measuring vapor pressure of calcium over its solid alloys with tin. V. G. Muradov and P. V. Gel'd (Pcd. Inst., Ulyanovsk). *Zh. Fiz. Khim.* 40(10); 2633-6(1966)(Russ). Ca vapor pressure at 650-850° over Ca-Sn solid alloys was measured by the effusion method and spectral analysis of the condensate. Ca vapor, even at ~850°, contains only traces of Sn. At 650-850°, the heat of sublimation of Ca from Ca₂Sn (solid) varied between 65.5 ± 3.6 and 68.9 ± 1.6 kcal./g.-atom, depending on the equation used. The heat of formation of Ca₂Sn_(solid) from CaSn and Ca was detd. as -27.7 ± 2.6 kcal./mole; $\Delta F = (-27,680 \pm 2600) + (13.2 \pm 3.1)T$. GPJR

Kp,

δH

C.A. 1967.66.6

Ca₂Sn

89 - IX - 331

1966

У 12 Б627. Измерения давления пара кальция над его твердыми сплавами с оловом. Мурадов В. Г., Гельд П. В. «Ж. физ. химии», 1966, 40, № 10, 2633—2636.

Эффузионным методом Кнудсена с применением спектрального анализа конденсата измерены давл. паров кальция над пятью сплавами Ca, Sn, соответственно содержащими 87,4; 70,8; 68,2; 66,3 и 46,9 ат.% Ca. Полученные данные обобщены ур-ниями, устанавливающими т-рные зависимости давл. паров кальция для образцов разного состава в интервале от 650 до 850°. Темпера сублимации кальция из сплавов, близких по составу к Ca₂Sn, составляет 68,5 ккал/г-атом.

Реферат авторов

X. 1967. 12

Ca₂Sn

З9-18-331

1966

5 E250. Измерения давления пара кальция над его твердыми сплавами с оловом. Мурадов В. Г., Гельд П. В. «Ж. физ. химии», 1966, № 10, 2633—2636

Эффузионным методом с применением спектрального анализа конденсата измерены давления пара Ca над его твердыми сплавами с Sn в интервале $t-p$ 650—850° С. По полученным данным рассчитана теплота сублимации Ca из твердых сплавов, близких по составу к Ca₂Sn, а также установлены теплота и изобарный потенциал образования Ca₂Sn(тв) из CaSn(тв) и Ca(тв).

91 · 1067 · 53

1966

Ca₂Sn

53557x Measurements of calcium vapor pressure over calcium solid alloys with tin. V. G. Muradov and P. V. Gel'd. *Uch. Zap., Ul'yanovsk. Gos. Pedagog. Inst.* 20(4), 378-9 (1966) (Russ.). Four Ca-Sn alloys contg. Ca (in atom %): 87.4 (alloy 1), 70.8 (alloy 2), 68.2 (alloy 3), 66.3 (alloy 4) were studied by the effusion method, using a spectral analysis of the condensate. In alloy 1 at a temp. <759° the vapor pressure coincided with the vapor pressure of pure metal. The transition to alloy 2, similar in compn. to Ca₂Sn, is connected with the sudden lowering of the Ca vapor pressure: $\log P_{\text{Ca}} \text{ mm.} = (10.63 \pm 0.83) - (14,330 \pm 790)/T$. Results of the measurement of Ca vapor pressure over samples 3 and 4 are described by: $\log P_{\text{Ca}} \text{ mm.} = (11.18 \pm 0.33) - (15,050 \pm 340)/T$. The change in the free energy $\Delta E = (-27,680 \pm 2,600) + (13.2 \pm 3.1)/T$. From Ref. Zh., Met. 1967, Abstr. No. 9A24.

MSRM

C.A. 1968-08-12

1966

VI-4515

Mg_2Si , Mg_2Ge , Mg_2Sn , Ca_2Si ,
 Ca_2Ge , Ca_2Sn , Po, Am, ZnTe, HgSe, HgTe
(ΔS°_{298})

Шарифов К.А., Разови Ю.Р.

Ж.Физ.Химии, 1966, 40/6/, 1255-8.

Расчет энтропии твердых неорганич.
соединений.

Be,

F

CA, 1966, 9833e

$\text{Sn}(\text{CH}_2\text{ClCOO})_2$; $\text{Sn}(\text{CH}_2\text{FCOO})_2$ 4 1968

$\text{Sn}(\text{CH}_2\text{Cl}_2\text{COO})_2$; $\text{Sn}(\text{CHF}_2\text{COO})_2$; $\text{KSn}(\text{CH}_2\text{ClCOO})_3$ X-6009

$\text{PbSn}(\text{CH}_2\text{ClCOO})_3$; $\text{CsSn}(\text{CH}_2\text{ClCOO})_3$; $\text{NH}_4\text{Sn}(\text{CH}_2\text{ClCOO})_3$

$\text{Ca}[\text{Sn}(\text{CH}_2\text{ClCOO})_3]_2$; $\text{Sr}[\text{Sn}(\text{CH}_2\text{ClCOO})_3]_2$; $\text{Ba}[\text{Sn}(\text{CH}_2\text{ClCOO})_3]_2$

$\text{KSn}(\text{CH}_2\text{FCOO})_3$; $\text{NH}_4\text{Sn}(\text{CH}_2\text{FCOO})_3$ (T_m)

Donaldson J.D., Telen J.

J. Chem. Soc., 1968, A, no 2244-2248 (austr.)

The Zn(II) halogen-substituted acetates.

PII Xiam, 1969

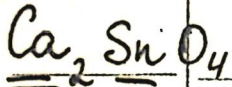
(X)

GB62

O

by CP

1970



5 Б930. Определение свободных энталпий образования станинатов кальция из чистых окислов. Möller
 Burkhardt. Bestimmung der freien Reaktionsenthalpie für die Bildung der Calciumstannate aus den reinen Oxiden. «Z. anorgan. und allg. Chem.», 1970, 376, № 2, 144—149 (нем.; рез. англ.)

В т-рий области 1123—1573° К методом гетерог. равновесий с CO/CO₂ смесями для т-рий зависимостей свободных энергий р-ций $Ca_2SnO_4 + 2CO = 2CaO + Sn + CO_2$ и $2CaSnO_3 + 2CO = Ca_2SnO_4 + Sn + 2CO_2$ получено: ΔG_T^0 (кал/моль) = 22293—10,54 T и 22984—12,84 T. Отсюда с использованием лит. данных для CO₂ и SnO₂ в указанном интервале т-р рассчитана свободная энергия образования из окислов Ca_2SnO_4 [ΔG_T^0 (кал/моль) = —18881+1,90 T] и $CaSnO_3$ (ΔG_T^0 = —19226+3,05 T). Погрешность полученных значений ±1000 кал.

А. Гузей

$$\Delta G_f$$

X. 184.

5

1970

CaSnO₃

89-18-2925

Ca₂SnO₄ΔG

81432z Free reaction enthalpy for the formation of calcium stannate from the pure oxide. Moeller, Burkhard (Sekt. Met. Werkstofftech., Bergakad. Freiberg; Freiberg, Ger.). Z. Anorg. Allg. Chem. 1970, 376(2), 144-9 (Ger). The free enthalpy functions (ΔG) for the reactions of CaO and SnO₂ in a 1:1 or 2:1 ratio to give CaSnO₃ or Ca₂SnO₄, resp., were evaluated (in units of cal/mole) as $-19,226 + 3.05T$ or $-18,881 + 1.90T$, resp., for $T = 1123\text{--}1573^\circ\text{K}$. The equil. concns. of the products were detd. by reacting Ca₂SnO₄ with CO to give CaO, Sn, and CO₂, or reacting CaSnO₃ with CO to give Ca₂SnO₄, Sn, and CO₂ and measuring the CO and CO₂ partial pressures.

DYJG

C.A. 1970. V3. 16

CaSn_3

1973

Palenzona, A.

Termochimica Acta
1973, 5(4), 473-80.

ΔH_f° ; ΔH_m
 ΔS_m

• (eu. LaSn_3 ; I)

LaSn_3 , CeSn_3 , PrSn_3 , NdSn_3 , GdSn_3 , YbSn_3 , ~~Gd~~
 LuSn_3 , ErSn_3 , DySn_3 , HoSn_3 , CeSn_3 ,
(δHf , δHm , δSm ; Tm) VIII 5426. CaSn_3

Paleozona sf.

Thermochimica Acta, 1973, 5, NY,
473-80

fig. ⑨

PK72

Ca_2SnO_4 , CaSnO_3 (ΔG_f) 1974
IX 4648

Jacob K.T., Chan J.C.

J. Electrochem. Soc., 1974, 121, N.Y., 534-537/ann.

Electrochemical determination of the stability of mono- and calcium stannates.

РНХИИЖ, 1974

235765

Есть сонгри
М (9)

IX-5376

1976

Caz Sez - Su Sez (group coer.)

Загибасова А.З., Мардакаев Б.Н.,

Русанов П.Г.,

Ур. зем. Азерб. Ун-т. Сеп. кварт. II,

1976, №1, 15-20

Müller, 1976, 12436

Ad.

Ca_2Sn

1977

Ca Sn
(mb., nc)

Bardin I, et al

mass II, comp: 134 - 135.

298-1700

● (cme Ag) I

CaSnO₃

1978

1 Б502. Кристаллографические данные для ильменитовой модификации станината кальция CaSnO₃. Dugand B. Crystal data for an ilmenite variety of calcium stannate CaSnO₃. «J. Appl. Crystallogr.», 1978, 11, № 4, 289—290. (англ.)

исследовано.
доказано

Реакцией разл. между Li₂SnO₃ и эвтектикой (CaCl₂ — 1,13 NaCl) при т-ре 600° в атмосфере N₂ синтезирована новая модификация CaSnO₃ (I), рентгенографич. исследование к-рой (метод порошка, дифрактометр, λСи, МНК, $R=0,046$) позволило установить для нее структурный тип ильменита. Параметры ромбоэдрич. решетки a 6,000 Å, α 54,42°, ρ (изм.) 5,16, ρ (выч.) 5,17, ф. гр. R3. Межатомные расстояния в октаэдрах: Ca—O 2,29, 2,56 Å, Sn—O 2,01, 2,06. I является метастабильной фазой и при нагревании при т-ре 900° необратимо переходит в известную перовскитоподобную модификацию CaSnO₃, причем переход сопровождается уменьшением объема на 7,15%. Приведены значения I , $d(hkl)$ рентгенограммы порошка I. С. В. Соболева

2.1949, VI

CaSn(OH)₆ BP-18-5734 1948

118528u Precipitation of tin(IV) from hydrochloric acid solutions by calcium hydroxide. Toptygina, G. M.; Tokimov, V. I.; Eliseeva, N. A.; Badanin, V. S. (Inst. Fiz. Neorg. Khim. im. Kurnakova, Moscow, USSR). Zh. Fiz. Khim. 1978, 23(6), 1471-6 (Russ). Equil. in the system $\text{SnCl}_4 + 2\text{Ca}(\text{OH})_2 \rightleftharpoons \text{Sn}(\text{OH})_4 + 2\text{CaCl}_2 - \text{H}_2\text{O}$ was studied by potentiometric and pH-metric methods at 25°. Ppt. compns., solv. products, and free energies of formation were detd. For $\text{CaSn}(\text{OH})_6$, $pL_{(\text{Ca}^{2+}, \text{Sn}^{4+}, 6\text{OH}^-)} = 82.3 \pm 1.5$, $pL_{(\text{Ca}^{2+}, \text{Sn}(\text{OH})_6^{2-})} = 19.7 \pm 1.5$ and $\Delta G_{298^\circ} = -469.4 \pm 3.0$ kcal/mol. From published data, the solubilities of $\text{Sn}(\text{OH})_4$ and $\text{CaSn}(\text{OH})_6$ were calcd. for pH 1-11 taking account of Sn^{4+} hydroxy complexation (or hydrolysis equil.).

16f

C.H. 1948, pg. VI

$\text{Ca}_8\text{Sn}_8\text{Si}_5$
(manganum)

Семенов и др. 1980
(reoxu)

Bull. Chem. Th.,
N 23, p. 366.

Gp

55-300K

Редакционный Со

1981

Сербскохорвач. Т. С.

Часы для ход. физ.-
математич. Классов и технико-

ф-ва Академия и Университетов.

Ил., 1981, 29-34.



(сер. Стакнитас НА; I)

CaSnF₆

1983

11 Б2162. Структура и связь во фторидах переходных металлов $M^{II}Me^{IV}F_6$. Нейтронографическое исследование структуры $CaSnF_6$, $FeZrF_6$ и $CrZrF_6$. Struktur und Bindung in Übergangsmetall-Fluoriden $M^{II}Me^{IV}F_6$. Neutronenbeugungs-Strukturerentersuchungen an $CaSnF_6$, $FeZrF_6$, und $CrZrF_6$. Mayer H. W., Reinen D., Heger G. «J. Solid State Chem.», 1983, 50, № 2, 213—224 (нем.; рез. англ.)

Для ряда соединений $M^{II}Me^{IV}F_6$, характеризующихся в обычных условиях куб. структурой типа ReO_3 с упорядоченным распределением катионов по октаэдрич. положениям при понижении т-ры наблюдается переход в низкот-рную тригон. модификацию со структурой $LiSbF_6$. С целью выяснения природы этого перехода предпринято нейтронографич. исследование (λ 1,03 Å, анизотропный МНК, R 0,05) соединений $CaSnF_6$ (I) и $FeZrF_6$ (II) при т-рах 293К, 77К и 4,2К и соединения $CrZrF_6$ (III) при т-рах 293К, 468К и 4,2К. Соединения

Tz;



(4)

X. 1984, 19, N 11

I и **II** в обычных условиях характеризуются структурой типа ReO_3 с параметрами кубич. решеток (ф. гр. $Fm\bar{3}m$) a 8,341 Å и 8,081, соотв. При понижении т-ры вследствие искажения октаэдрич. окружения катионов M^{III} и M^{IV} имеет место ромбоэдрич. искажение решетки (ф. гр. $R\bar{3}$): I, при 77 К a 5,776, c 14,55, при 4,2 К a 5,762, c 14,57; II при 77К a 5,556, c 14,13, при 4,2К a 5,533, c 14,18. В случае III кубич. модификация устойчива лишь в условиях высокой т-ры: при 468 К a 8,124 Å. При 293 К для III характерна тетрагонально-искаженная решетка с параметрами a 5,80, c 8,01 Å; при дальнейшем понижении т-ры искажение решетки увеличивается и становится монокл.: при 4,2 К a 9,72, b 5,69, c 5,81, $\gamma = 125,5^\circ$. Для монокл. низкот-рной модификации III установлена структура типа CuZrF_6 . Фазовые превращения соединений I—III трактуются с точки зрения искажения октаэдров в соответствии с эффектом Яна-Теллера.

С. В. Соболева



CaSnF₆

1983

4 E569. Структура и связь во фторидах переходных металлов $M^{II}M^{IV}F_6$. Структурные нейтронографические исследования $\underline{CaSnF_6}$, $\underline{FeZrF_6}$ и $\underline{CrZrF_6}$. Struktur und Bindung in Übergangsmetall-Fluoriden $M^{II}M^{IV}F_6$. Neutronenbeugungs-Strukturuntersuchungen an $\underline{CaSnF_6}$, $\underline{FeZrF_6}$ und $\underline{CrZrF_6}$. Mautz H. W., Reinen D., Heger G. «J. Solid State Chem.», 1983, 50, № 2, 213—224 (нем.; рез. англ.)

Методом дифракции нейtronов исследована структура порошкообразных образцов $CaSnF_6$, $FeZrF_6$, $CrZrF_6$ в зависимости от температуры. Эти соединения претерпевают с понижением температуры фазовый переход из кубической упорядоченной ReO_3 -фазы в тригональную структуру типа $LiSbF_6$. При ян-теллеровском активном двухвалентном катионе (M^{II}) могут появляться дополнительные фазы. Установлено, что высокотемпературные фазы имеют пространственную группу $Fm\bar{3}m$, причем ионы F^- ста-

Структура

18(72)

ср. 1984, 18, № 4

тистически смешены от линий M^{II} — M^{IV} или имеют значительные тепловые сдвиги перпендикулярно этим направлениям. Форма Cr—F-связей свидетельствует о наличии динамич. эффекта Яна—Теллера. В низкосимметричных фазах $CuSnF_6$, $FeZrF_6$ (группа $R\bar{3}$) изгиб связи M^{II} —F— M^{IV} больше. В $CrZrF_6$ имеется два перехода: 1) при 415 К, из кубич. фазы в тетрагональную, переход, связанный с установлением статического ян-теллеровского искажения октаэдров CrF_6 ; 2) при 150 К, из тетрагональной фазы в моноклинную. Приведены подробные таблицы структурных данных.

Н. Н. Кристоффель



CaSn₃

1986

21 Б2049. Перовскиты $ASnO_3$ ($A=Ca, Sr$). The $ASnO_3$ ($A=Ca, Sr$) perovskites. Vegas A., Vallet-Regi M., Conzález-Calbet J. M., Alario-Franco M. A. «Acta Crystallogr.», 1986, B42, № 2, 167—172 (англ.)

Рентгенографически (метод порошка) установлено, что соединения $ASnO_3$ ($A=Ca, Sr$), полученные взаимодействием ACl_2 и SnO_2 при т-ре 1473 К, кристаллизуются в СТ перовскита, основу к-рого составляет 3-мерный каркас из соединенных вершинами октаэдров вокруг Sn , в пустотах к-рого располагаются большие атомы A в 8-кратной координации в виде двухшапочной тригон. призмы. Проведен РСтА (λMo , анизотропный МНК, R 0,026 для 346 отражений) кристаллов $CaSnO_3$. Параметры ромбич. решетки: a 5,532, b 5,681, c 7,906 Å, ρ (выч.) 5,52, Z 4, ф. гр. $Pbnm$, межатомные расстояния $Sn-O$ 2,061, 2,063, $Ca-O$ 2,344—2,792 Å. Электронномикроскопич. исследование $SrSnO_3$ (ранее считавшегося кубич. с a 8,0682 Å) выявило полисинте-

(7) 18

X. 1986, 19, N 21

SrSn₃

тич. двойникование ромбич. кристаллов, имитирующее кубич. симметрию. Истинная ромбич. решетка характеризуется параметрами: a 5,707, b 5,707, c 8,064 Å, ρ (выч.) 6,43, Z 4, ф. гр. предположительно $Pbnm$. Структура уточнена по параметрам решетки в предложении длины октаэдрич. связи Sn—O того же порядка, что в структуре $CaSnO_3$. (Sr—O 2,44—2,86 Å).

С. В. Соболева

ГРУ
СКС

CaSh3(x) lom. 26714 1987

Докураев Т. А., Вербенская
Н. А., Вахобов А. В.,

Дж H,

жн. приз. землер, 1987,
61, №, 1662-1665.

Ca_3In

(VIII 32143)

1988

Aliv D.Y., Sano N.,

Metall. Trans. B 1988,

19B (3), 433-9.

18g;

(cell:  Ca_3P_2 ; I).

Саинж Сыгадиева В.С.,
Баталов Г.И.

1988

ΔΗ; Узб. АН СССР. Неорганические
материалы. 1988. № 9. С.

1578-1580.

(ав. Саинж; Г.)

CaSn₂F₆

1992

6 Б3034. Термодинамические свойства и теплоемкость суперионного проводника CaSn₂F₆ от 6 до 310 К. Thermodynamic properties and heat capacity of the fast ion conductor CaSn₂F₆ from 6 K to 310 K. /Callanan Jane E., Weir Ron D., Westrum Edgar F. Jr. //12th IUPAC Conf. Chem. Thermodyn. [and] Int. Meet. 47th Calorim. Conf., Snowbird, Utah, 16—21 Aug., 1992: Program. Abstr., and Repts. —S. I., [1992]. —C. 346—347.—Англ.

(*p*, 6—310K)

Теплоемкость C_p CaSn₂F₆ (I) определена в интервале от 6 до 310 К методом адиабатич. калориметрии. Установлена аномалия C_p при 140 К, природа к-рой не ясна. Отклонения ΔC_p от регулярной части теплоемкости не превышают 1% и находятся в пределах эксперим. ошибки Δ_{tr} , $H = (1,3 \pm 0,3) R$ К в интервале 135—150 К, термодинамич. ф-ции I табулированы до 310 К, $S(298\text{ K}) = (33,16 \pm 0,03) R$.

Л. А. Резницкий

X. 1993, N6

CaSn_2F_6

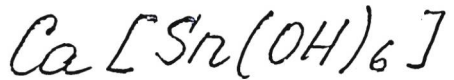
1993

118: 155613f Thermodynamics of divalent-metal fluorides. VI. Heat capacity and thermodynamic properties of the fast-ion conductor calcium hexafluorostannate (CaSn_2F_6) at temperatures from 6 K to 310 K. Callanan, Jane E.; Weir, Ron D.; Westrum, Edgar F., Jr. (Callanan Assoc., Boulder, CA 80301 USA). *J. Chem. Thermodyn.* 1993, 25(2), 209-18 (Eng). The molar heat capacity, $C_{\text{p.m.}}$, of calcium hexafluorostannate, CaSn_2F_6 , was measured at temp. T from 6 to 310 K by adiabatic calorimetry. Reproducible heat capacities were obtained only after cooling the sample twice to $T < 150$ K. The curve of heat capacity against temp. is continuous and rises smoothly to $T \approx 140$ K, where a small anomaly appears. Above $T \approx 150$ K, the curve resumes its smooth path. The anomaly, which source is unknown, occurs at $T \approx 143$ K. The greatest difference of the curve from that defined by the curve of the lattice vibrations is $0.01 \cdot C_{\text{p.m.}}$, which lies outside the error in the measurements. Smoothed values of the std. thermodn. quantities for pure CaSn_2F_6 are tabulated up to 310 K.

C_p , mpmogur
 C_p -III

$T \leq 310K$

c.A. 1993, 118, n16



1996

Ippolitov E. G.,
Krivtsov N. V. et al.

($\Delta_f H^\circ_{298}$) Zh. Neorg. Khim.
1996, 41(5), 799-801.

(crys. $\text{Na}_2[\text{Sn}(\text{OH})_6]$; I)